

LC23 : Diagrammes potentiel-pH (construction exclue)

Modification du pH lors d'une réaction d'oxydoréduction

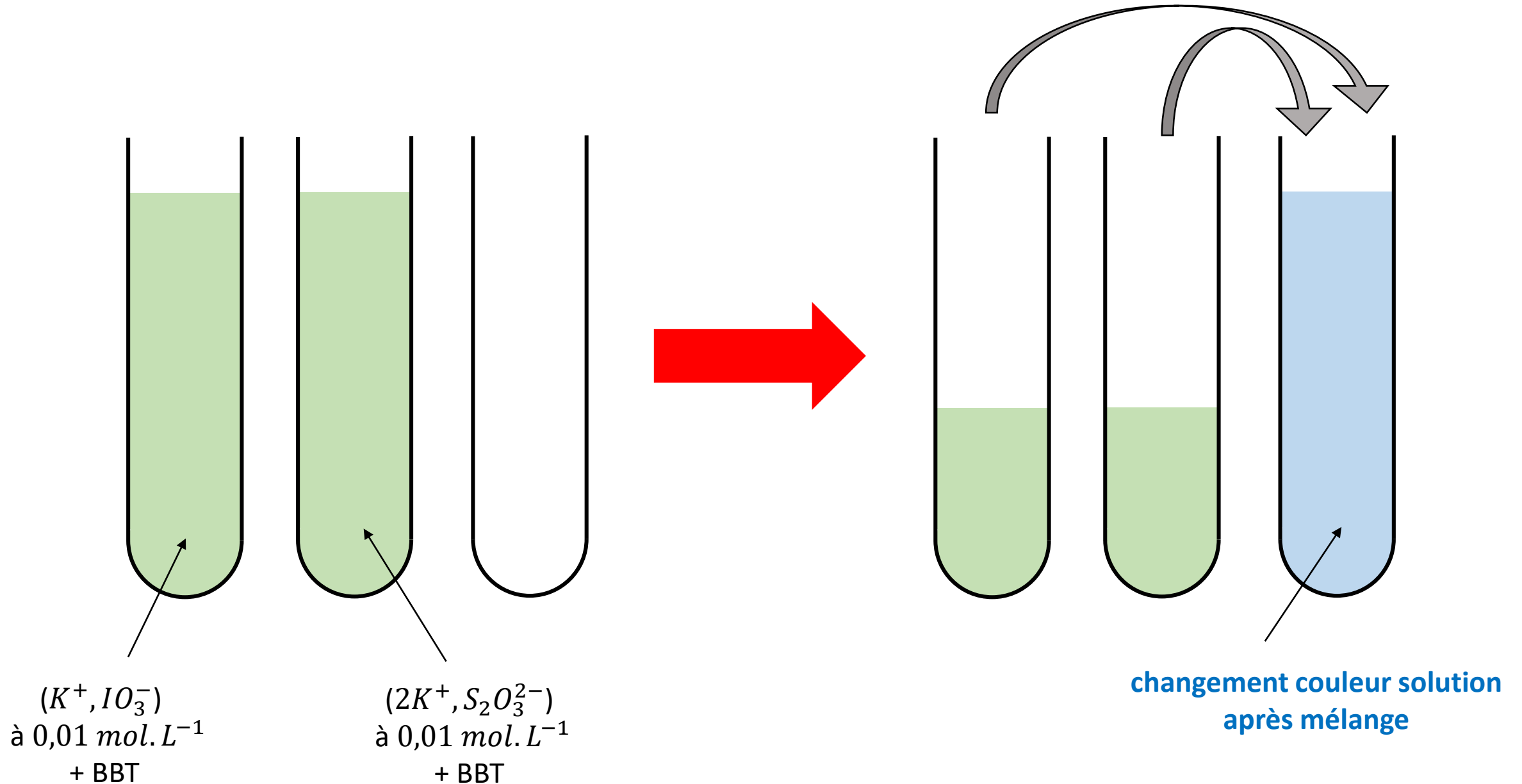
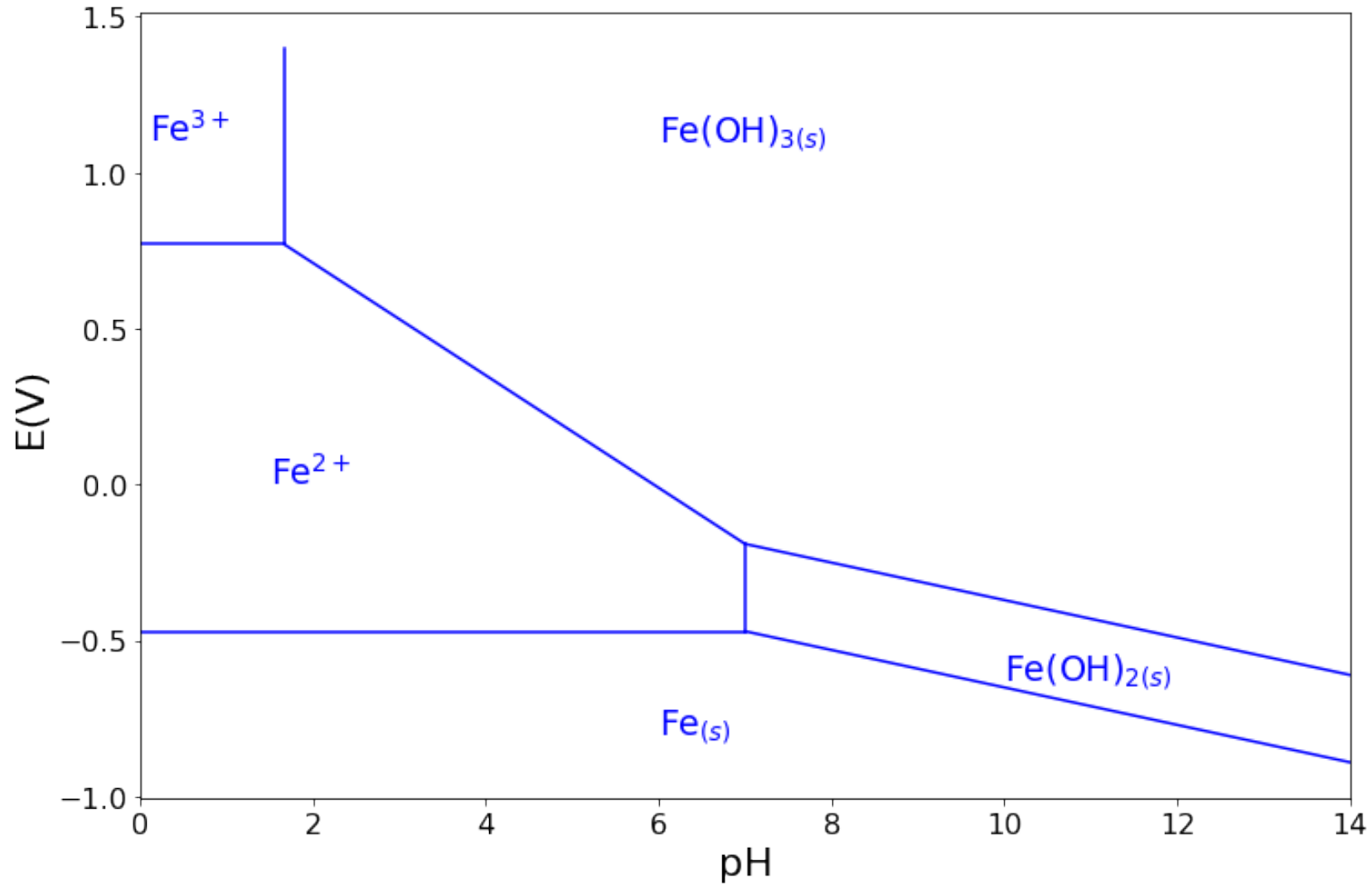
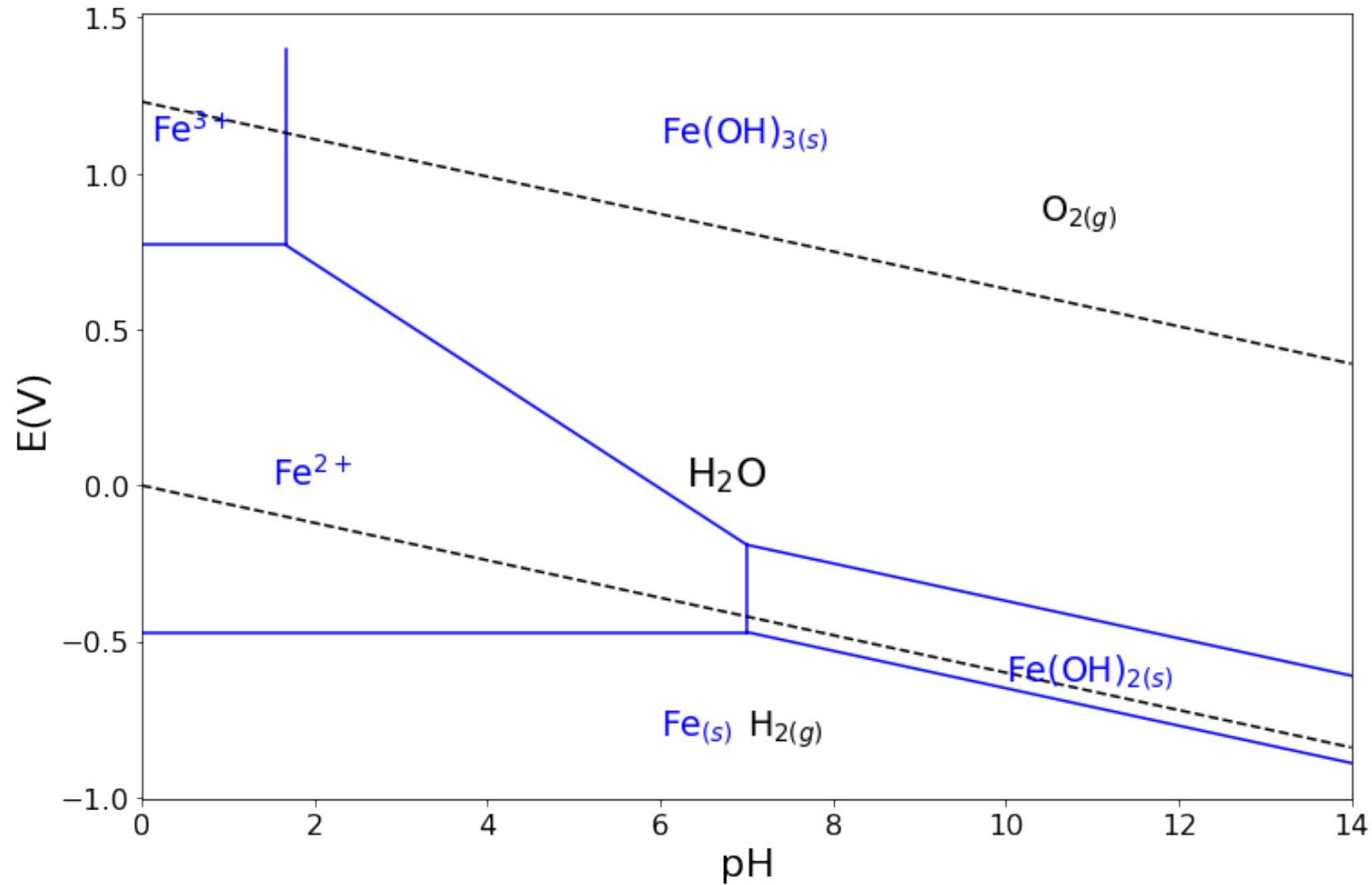


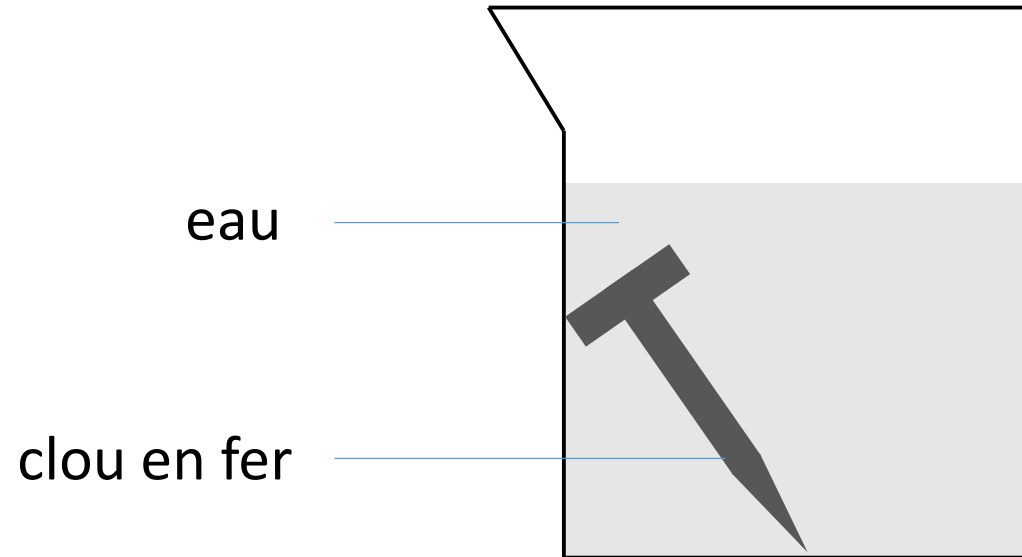
Diagramme de Pourbaix du fer



Superposition des diagrammes du fer et de l'eau



Oxydation du fer dans l'eau ?



**Aucun dégagement gazeux
observé**

Superposition des diagrammes du fer de l'eau et de l'aluminium

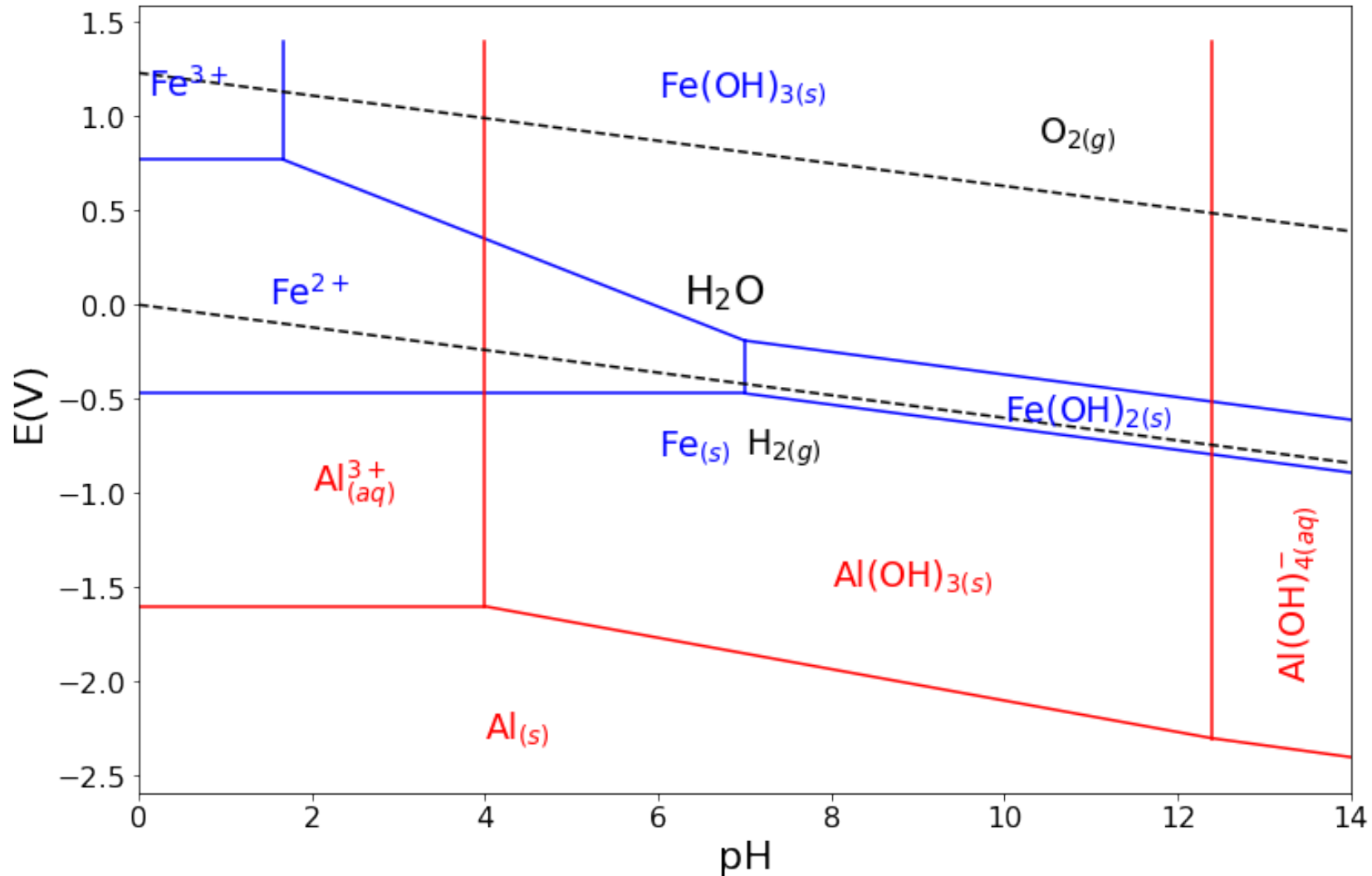


Diagramme Pourbaix Winkler

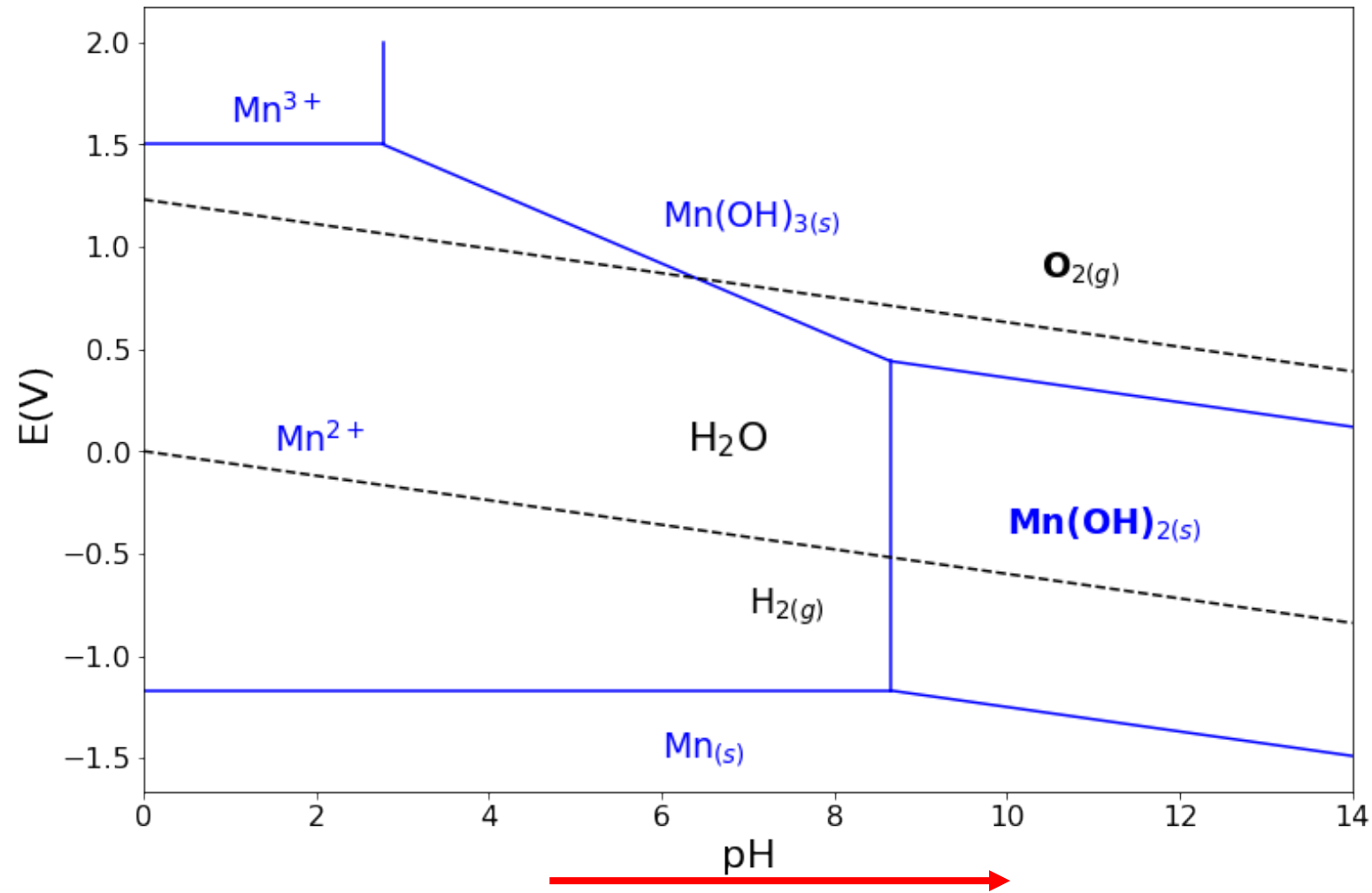


Diagramme Pourbaix Winkler

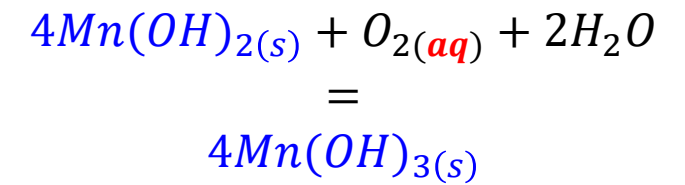
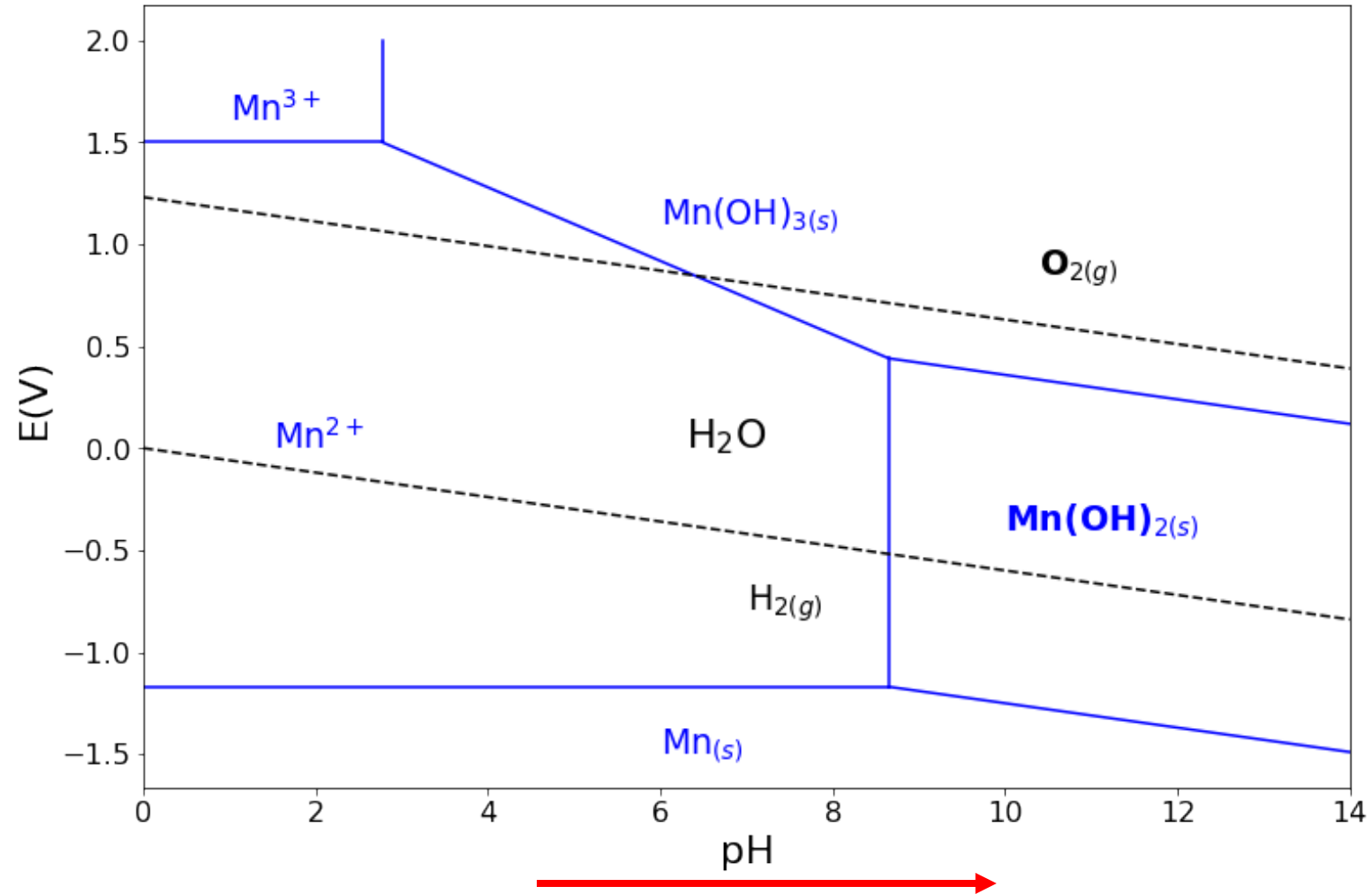


Diagramme Pourbaix Winkler

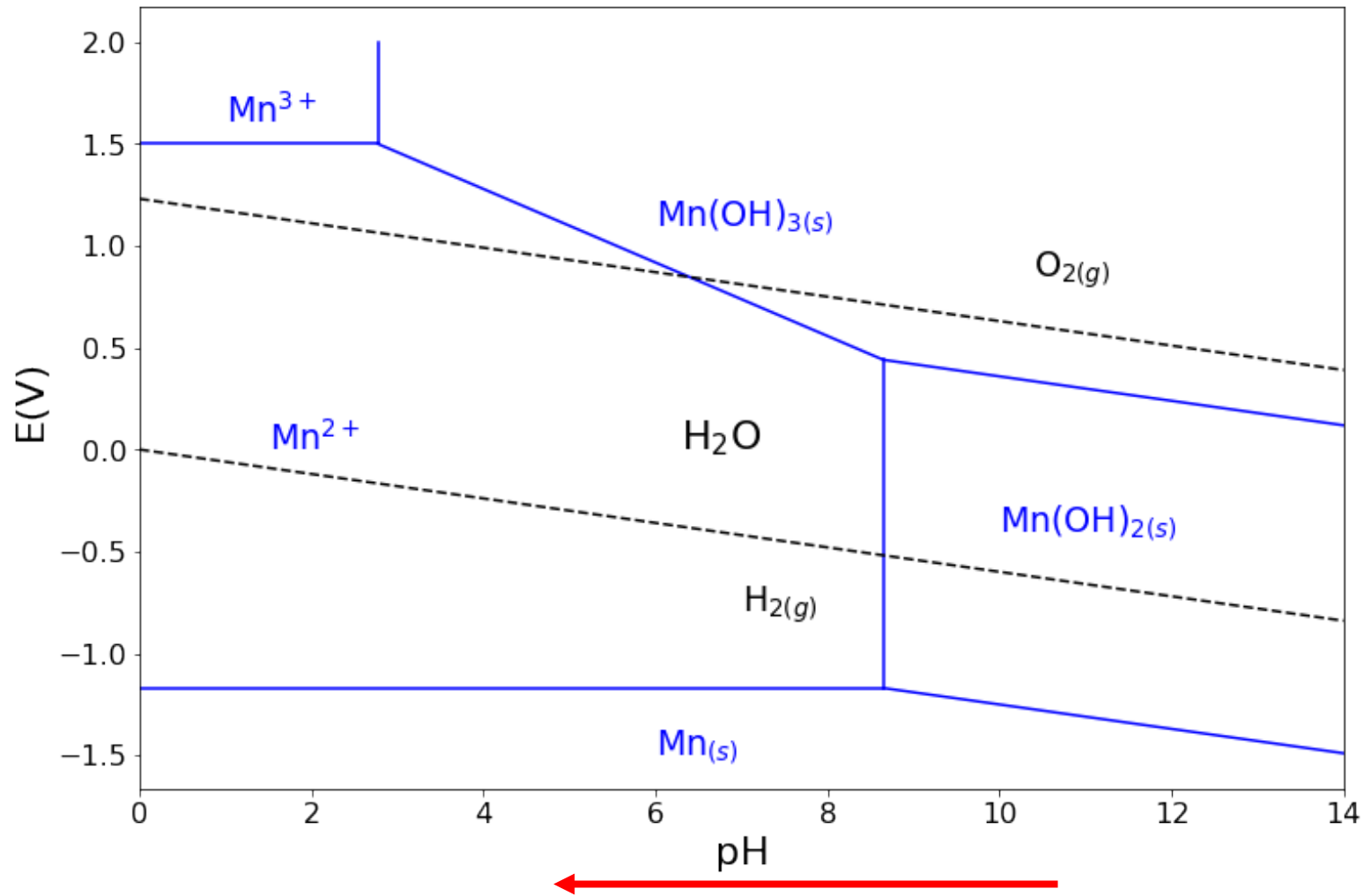
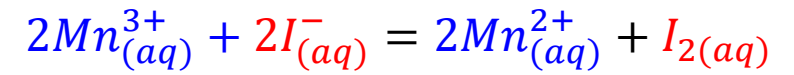
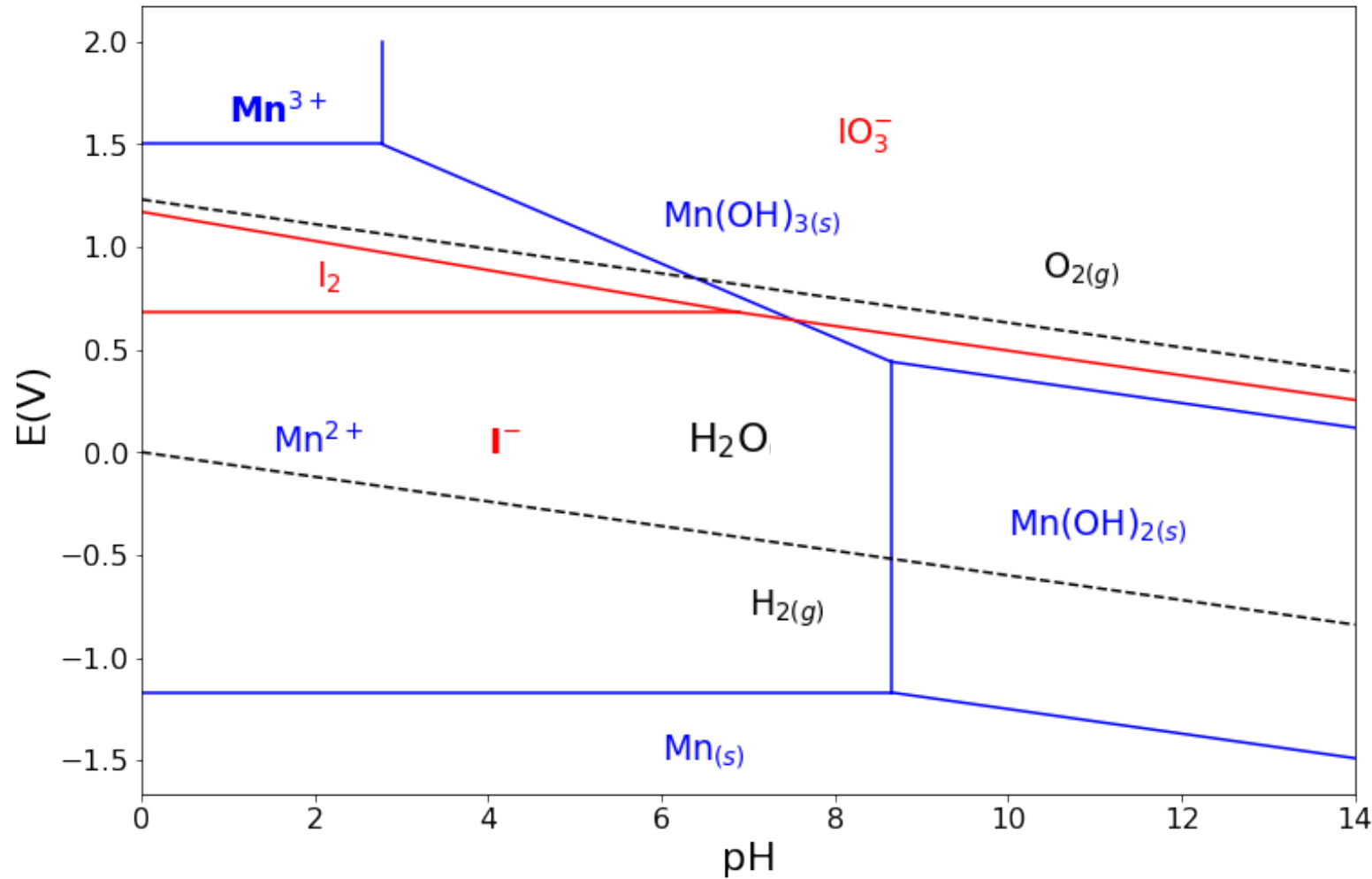
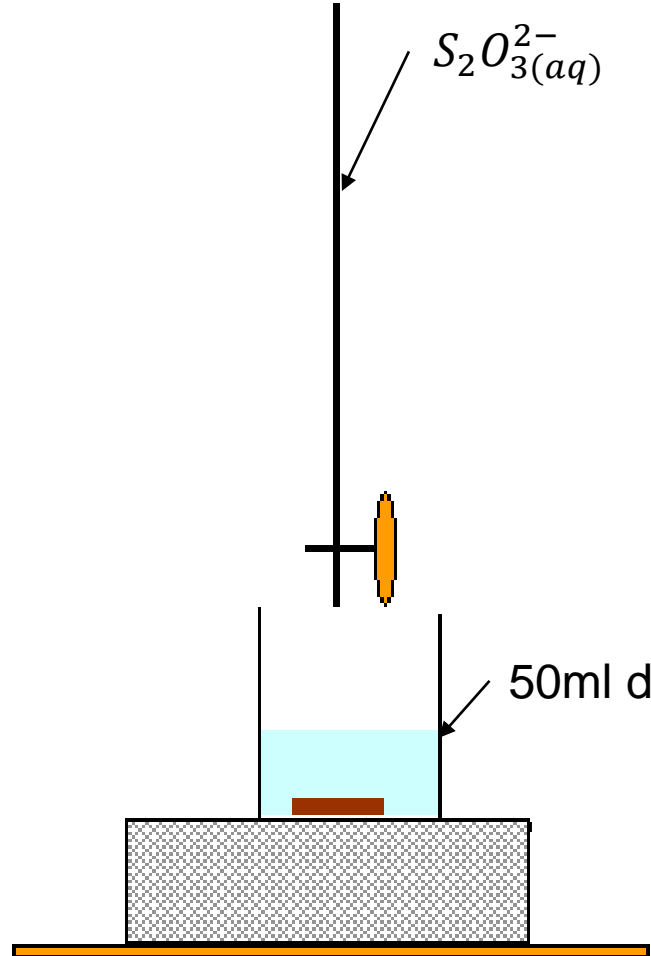


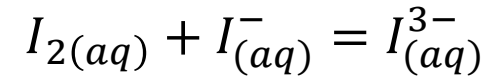
Diagramme Pourbaix Winkler



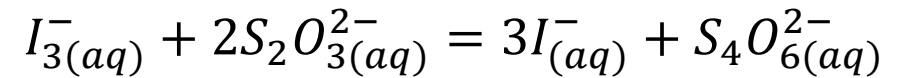
Titrage



Complexation du diode:



Reaction de titrage:



Détermination de $[O_2]$

- $[I_2]_{formé} = [I_3^-]_{dosé} = V_{eq} * \frac{[S_2O_3^{2-}]}{2V_0}$
- $[Mn(III)]_{formé} = 2[I_2]_{formé} = V_{eq} * \frac{[S_2O_3^{2-}]}{V_0}$
- $[O_2]_{dissout} = \frac{[Mn(III)]_{formé}}{4} = V_{eq} * \frac{[S_2O_3^{2-}]}{4V_0}$

Numérotation	1A	1B	2	3
Classement	Excellente qualité	Potable	Industrielle	médiocre
Usages	Tout usage	Potable / Industrie alimentaire	Irrigation	refroidissement
[O2] dissous mg.L ⁻¹	>7	5 à 7	3 à 5	< 3